



# Sirio

Carlomagno A., Ferrandino A., Ruffa P., Schneider A., Novello V. (2014) – Sirio. In: Italian Vitis Database, www.vitisdb.it, ISSN 2282-006X

release 13/07/2015, ultimo aggiorn. 13/07/2015 url <http://vitisdb.it/varieties/show/1088>

## Informazioni generali gestite da

Dipartimento di Scienze Agrarie, Forestali e Alimentari - Università degli Studi di Torino

## Ringraziamenti

Ager-IVD; Istituto di Istruzione Superiore di Stato 'Umberto I' – Alba (CN)

## Informazioni botaniche

**nome** Sirio

**tipo di origine** incrocio intraspecifico

**specie** Vitis vinifera

**gruppo di varietà** Neutre

**genere** Vitis

**sottospecie** sativa

**vitigno da** vino

**breeder** Giovanni Dalmasso

**istituzione ibridatore** Università di Torino

**anno di incrocio** 1938

**anno di selezione** non disponibile

**trueness to type** accertato con rilievi morfologici e microsatelliti

**codice** IVD-var\_302

## True-name

confermato **si**

## Bibliografia correlata (1)

autori	anno	titolo	rivista	citazione
Eynard I., Novello V.	1989	Sirio	Principali vitigni da vino coltivati in Italia - Nuova serie, Vol. I, ISV di Conegliano Veneto- Ministero dell'Agricoltura e delle Foreste, 1989	Sirio di I. Eynard e V. Novello da "Sirio", in Principali vitigni da vino coltivati in Italia - Nuova serie, Vol. I, ISV di Conegliano Veneto- Ministero dell'Agricoltura e delle Foreste, 1989

## Registrazione

**iscritto al Registro Nazionale delle Varietà di Viti** **si**

**codice** 291

**nome ufficiale** I.D. X-12

## Sinonimi

nessun sinonimo disponibile per Sirio

## Accessione principale

**accessione principale** Sirio

**componente che l'ha inserita** Dipartimento di Scienze Agrarie, Forestali e Alimentari - Università degli Studi di Torino

## Accessioni standardizzate (1)

- Sirio - Dipartimento di Scienze Agrarie, Forestali e Alimentari - Università degli Studi di Torino

## Tutte le accessioni (1)

- Sirio - Dipartimento di Scienze Agrarie, Forestali e Alimentari - Università degli Studi di Torino

## Cloni omologati

Nessun clone disponibile per

## Profilo microsatellite standardizzato

loci:	loci predefiniti ( 9 )																	
locus SSR:	VVS2		VVMD5		VVMD7		VVMD27		VrZAG62		VrZAG79		VVMD25		VVMD28		VVMD32	
allele:	A1	A2	A1	A2	A1	A2	A1	A2	A1	A2	A1	A2	A1	A2	A1	A2	A1	A2
dimensione:	133	155	227	235	243	247	181	181	188	204	259	259	240	242	237	247	253	253

## Immagini



germoglio



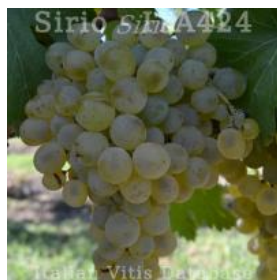
foglia



foglia pagina superiore



foglia pagina inferiore



grappolo



acino

## Ampelografia

OIV	descrizione	valore		immagini
004	Giovane germoglio: densità dei peli striscianti dell'apice	3	bassa	
007	Germoglio: colore del lato dorsale degli internodi	2	verde e rosso	
008	Germoglio: colore del lato ventrale degli internodi	1	verde	
016	Germoglio: numero di viticci consecutivi	1	2 o meno	
051	Foglia giovane: colore della pagina superiore del lembo (4a foglia)	3	bronzato	
053	Foglia giovane: densità peli striscianti tra le nervature principali della pagina inferiore (4a foglia)	3	bassa	
067	Foglia adulta: forma del lembo	4 / 2	orbicolare / cuneiforme	
068	Foglia adulta: numero dei lobi	3	cinque	
070	Foglia adulta: distribuzione pigmentazione antocianica nervature principali pagina superiore	1 / 3	assente / fino alla 1a biforcazione	
075	Foglia adulta: bollosità della pagina superiore del lembo	3	bassa	
076	Foglia adulta: forma dei denti	2 / 5	entrambi i lati rettilinei / misto tra entrambi i lati rettilinei (livello 2) e entrambi i lati convessi (livello 3)	
079	Foglia adulta: grado di apertura / sovrapposizione dei bordi del seno peziolare	3	aperto	
080	Foglia adulta: forma della base del seno peziolare	1 / 2 (Ø 3)	a U / a parentesi graffa (f)	
081-1	Foglia adulta: denti del seno peziolare	9	presenti	
081-2	Foglia adulta: base del seno peziolare delimitata dalla nervatura	1	non delimitata	
083-2	Foglia adulta: denti nei seni laterali superiori	1 / 9	assenti / presenti	
084	Foglia adulta: densità dei peli striscianti tra le nervature principali sulla pagina inferiore del lembo	1	nulla o molto bassa	
087	Foglia adulta: densità dei peli eretti sulle nervature principali della pagina inferiore del lembo	1	nulla o molto bassa	
151	Fiore: organi sessuali	3	stami completamente sviluppati e gineceo completamente sviluppato	

155	Tralcio: fertilità delle gemme basali (gemme 1-3)	9	molto alta (>1,9)	
202	Grappolo: lunghezza (escluso il peduncolo)	5 / 3	medio / corto	
204	Grappolo: compattezza	5 / 3	medio / spargolo	
208	Grappolo: forma	1 / 3	cilindrico / a imbuto	
220	Acino: lunghezza	5	medio	
221	Acino: larghezza	3 / 5	stretto / medio	
223	Acino: forma	2	sferoidale	
225	Acino: colore della buccia	1	verde giallo	
236	Acino: particolarità dell'aroma	1	nessuna	
241	Acino: sviluppo dei vinaccioli	3	completo	

### Note ampelografiche

Il vitigno è caratterizzato dalla presenza di viticci trifidi, tetrafidi e pentafidi. altra peculiarità si manifesta con l'attaccamento di parte del rachide al germoglio. Presenta anche diverse foglie simmetriche. Spesso si incontrano foglie intere con appendici di lobi superiori od inferiori. Il lembo può essere a coppa o piano con margine lievemente contorto.

alcuni acini tendono leggermente all'ellittico.

### Ampelometria

#### OIV

nessun descrittore presente per Sirio

## Superampelo

distanze		
descrittore	valore	deviazione standard
Distanza tra estremità di N2 e estremità della prima ramificazione laterale di N2	42.460	12.756
Distanza tra estremità di N2' e estremità della prima ramificazione laterale di N2'	42.110	9.850
Distanza dal seno peziolare al seno inferiore destro	47.820	10.970
Distanza dal seno peziolare al seno inferiore sinistro	44.770	9.963
Distanza dal seno peziolare al seno superiore destro	56.900	19.152
Distanza dal seno peziolare al seno superiore sinistro	50.830	14.234
Nervatura N3, lunghezza dal seno peziolare alla nervatura N4	11.820	3.243
Nervatura N3', lunghezza dal seno peziolare alla nervatura N4'	10.250	0.936
Lunghezza della nervatura N5	20.590	5.076
Lunghezza della nervatura N5'	18.930	3.623
Lunghezza della nervatura N4	47.080	5.892
Lunghezza della nervatura N4'	47.340	7.019
Larghezza della foglia	151.450	17.705
Lunghezza della foglia	153.630	19.001
Lunghezza del picciolo	90.690	20.360
Lunghezza della foglia compreso il picciolo	207.550	29.775
Distanza tra gli estremi delle nervature N2 e N2'	129.640	20.495
Lunghezza della nervatura N1	116.870	13.356
Distanza tra gli estremi delle nervature N4 e N4'	95.660	11.336
Distanza tra gli estremi delle nervature N3 e N3'	150.640	15.209
Lunghezza della nervatura N2	105.500	12.608
Larghezza del seno peziolare / Distanza tra i punti SP e SP'	-34.850	6.082
Lunghezza della nervatura N3	76.900	7.182
Lunghezza della nervatura N2'	104.905	11.619
Lunghezza della nervatura N3'	77.030	9.020

angoli		
descrittore	valore	deviazione standard
Angolo tra N1 e N2 misurato alla prima biforcazione	47.420	8.042
Angolo tra N2 e N3 misurato alla prima biforcazione	53.290	5.395
Angolo tra N1 e N2' misurato alla prima biforcazione	49.880	5.925
Angolo tra N3 e N4 alla prima biforcazione di N3	53.970	6.318
Angolo tra N2' e N3' misurato alla prima biforcazione	54.450	6.711
Angolo tra N1 e N2 misurato agli estremi delle nervature	37.490	8.354
Angolo tra N3' e N4'	51.560	6.070
Angolo tra N2 e N3 misurato agli estremi delle nervature	41.550	9.081
Angolo tra N1 e N2' misurato agli estremi delle nervature	38.840	3.789
Angolo tra N3 e N4 misurato agli estremi delle nervature	39.540	7.366
Angolo tra N2' e N3' misurato agli estremi delle nervature	45.220	6.452
Angolo di apertura del seno peziolare misurato a SP e SP'	85.010	18.858
Angolo tra N3' e N4' misurato agli estremi delle nervature	42.590	2.670
Angolo tra S e S' con centro in N1	42.610	19.185
Angolo tra D e D' con centro in N1	100.230	12.704
Angolo tra I e I' con centro in N1	45.800	9.108

rapporti		
descrittore	valore	deviazione standard
Media della base dei denti del lato sinistro	7.718	1.400
Media della base dei denti del lato destro	7.621	1.415
Media dell'altezza dei denti del lato sinistro	4.581	0.803
Rapporto tra l'altezza e la base del dente all'estremità della nervatura N4'	0.873	0.223
Media dell'altezza dei denti del lato destro	4.659	0.781
Rapporto tra Lunghezza e larghezza della foglia	1.018	0.092
Rapporto tra la somma degli angoli a' + b' e la somma della distanza tra il seno peziolare e il seno superiore sinistro OS' e il seno peziolare e il seno inferiore sinistro OI'	0.020	0.005
Rapporto tra la somma degli angoli a + b e la somma della distanza tra il seno peziolare e il seno superiore destro OS e il seno peziolare e il seno inferiore destro OI	0.018	0.006
Rapporto tra l'altezza e la base dei denti del lato sinistro	0.599	0.076
Rapporto tra l'altezza e la base dei denti del lato destro	0.617	0.070
Rapporto tra l'altezza e la base del dente all'estremità della nervatura N2'	1.130	0.243
Rapporto tra l'altezza e la base del dente all'estremità della nervatura N2	0.995	0.140
Rapporto tra l'altezza e la base del dente all'estremità della nervatura N4	0.950	0.176

**Bibliografia (4)**

autori	anno	titolo	rivista	citazione
Curzel V.	1965	Caratteristiche ampelografiche ed enologiche di alcuni incroci Dalmasso da vino		Atti dell' Acc. It. della Vite e del Vino. 1965, XVII:3-48
Eynard I.	1966	Studio ampelografico ed ampelometrico di alcuni incroci da vino del prof. Giovanni Dalmasso. Nota II - Vitigni ad uva bianca.		Annali della Facoltà di Scienze Agrarie della Università degli Studi di Torino. 1966, Volume III: 203-296
Eynard I., Novello V.	1989	Sirio	Principali vitigni da vino coltivati in Italia - Nuova serie, Vol. I, ISV di Conegliano Veneto- Ministero dell'Agricoltura e delle Foreste, 1989	Sirio di I. Eynard e V. Novello da "Sirio", in Principali vitigni da vino coltivati in Italia - Nuova serie, Vol. I, ISV di Conegliano Veneto- Ministero dell'Agricoltura e delle Foreste, 1989
Mannini F. e Gay G.	2006	L'interesse attuale di vitigni creati da Giovanni Dalmasso.		Atti dell'incontro: Giovanni Dalmasso, un seminatore lungimirante, 44-55.